

# M

# Acionamento de Motores DC

Versão 1.0 (06/03/2020)

É frequente a necessidade de se acionar motores com o MSP430 e, não raro, encontram-se dificuldades e surpresas desagradáveis tais como dano no MSP ou queima do motor. Esta é a razão deste apêndice: auxiliar o leitor a controlar seu motor, sem sobressaltos (esperamos). Evidentemente, o acionamento de motores é um assunto vasto e não pretendemos estudá-lo de forma detalhada. Faremos apenas uma abordagem pragmática, tentando indicar ao leitor pontos importantes e oferecendo algumas soluções que talvez se adaptem ao seu problema.

## M.1. Os Cuidados com Cargas Indutivas

O motor, não importa se AC, DC ou de passo, é uma carga indutiva, assim como transformadores e relés eletromecânicos. De forma simplista, todo equipamento que tiver enrolamentos (bobinas) é uma carga indutiva. Como vamos trabalhar exclusivamente com o acionamento em corrente contínua (DC), não nos preocuparemos com o atraso que a corrente sofre em relação à tensão, que é típico de cargas indutivas.

Porém, teremos uma grande preocupação com a Força Contra Eletromotriz provocada pelo colapso do campo magnético que acontece quando a alimentação de uma carga indutiva é desligada. **Conferir se está correto.** A equação abaixo é derivada da Lei da Indução Magnética, onde  $v(t)$  é a tensão nos terminais da bobina,  $\Phi_B$  é o fluxo magnético,  $i$  é a corrente,  $L$  a indutância,  $t$  é o tempo e  $d$  é o operador derivada. Essa equação mostra que uma rápida variação no fluxo magnético ( $\Phi_B$ ) pode gerar altas tensões e isso acontece quando se chaveia os enrolamentos dos motores.

$$v(t) = \frac{d\Phi_B}{dt} = L \frac{di}{dt}$$

Para tornar a ideia bem clara, vamos a um experimento simples. A Figura M.1 apresenta uma bateria de 5V, uma chave  $S$ , um indutor  $L$  e um resistor  $R$ . O indutor representa um enrolamento de um motor qualquer e  $R$  sua resistência interna, que é muito baixa (alguns Ohms ou fração de Ohm). Na porção da esquerda desta figura, quando fechamos a chave  $S$ , passa uma corrente pelo indutor e cria um campo magnético ao seu redor. Quando a chave é aberta, esse campo magnético entra em colapso e provoca sobre a chave  $S$  uma

tensão elevada, digamos algumas centenas de Volts, como mostrado no lado direito da figura. O problema é que no acionamento de motores, a chave  $S$  é, na verdade, um transistor e essa alta tensão pode vir a danificá-lo. Precisamos evitar isso.

Curiosidade: a maioria desses aparelhinhos que, de brincadeira, dão choque nas pessoas, como uma caneta ou um livro ao ser aberto, geram sua alta tensão a partir do colapso do campo de um indutor.

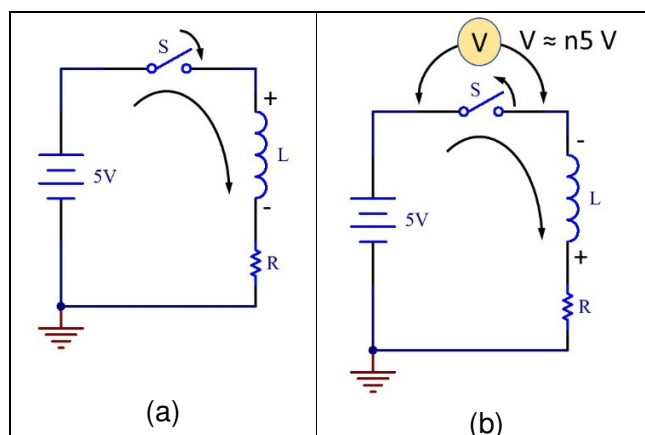


Figura F.1. O problema da Força Contra Eletromotriz gerado pelo colapso do campo magnético de um indutor.

A forma mais simples de se eliminar essa alta tensão da Força Contra Eletromotriz é usar um diodo em paralelo com a carga indutiva, como mostrado na Figura M.2. Note que, enquanto a chave estiver fechada, o diodo  $D$  está polarizado reversamente. Porém, quando a chave é aberta, o indutor se descarrega com tensão reversa, o que polariza diretamente o diodo e “fecha um curto” sobre o indutor. Em inglês esse diodo recebe o nome de “frewheeling diode” ou “flyback diode”.

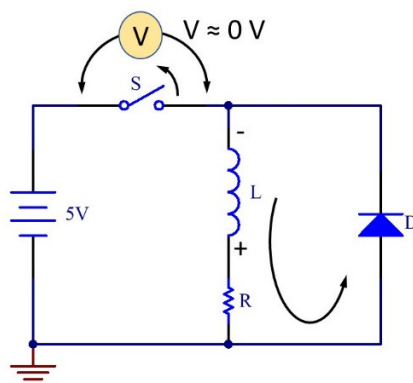


Figura M.2. Emprego de um diodo para “desviar” a Força Contra Eletromotriz gerada pelo colapso do campo magnético de um indutor.

Curiosidade: as antigas TVs com tubo de raios catódicos tinham um diodo de *flyback* que queimavam com certa frequência e os técnicos, de maneira jocosa, ao explicar o conserto para o cliente diziam que o problema era o Frei Beque.

É relativamente simples dimensionar esse diodo de proteção, mas não faremos isso. Para o leitor que estiver interessado, existe muita documentação na Internet. Como vamos trabalhar com motores pequenos, sugerimos o diodo 1N4148. Para o caso de motores maiores, deve ser usado um diodo retificador, por exemplo um da família 1N400X (1N4001, 1N4002, ...). É muito comum o 1N4007.

Como o leitor deve saber, motores geram muito ruído eletromagnético. Uma forma de limitar um pouco este ruído é colocar um filtro RC em paralelo com o motor. Esse filtro é também conhecido como “*snubber*”. Para nosso estudo, vamos simplesmente colocar um capacitor de 100 nF em paralelo com o motor.

## M.2. Como Usar Saída Digital para Acionar Motor

Vamos agora abordar o problema que nos interessa. Temos um motor e precisamos acioná-lo sob controle de um PWM gerado pelo MSP. Para o caso de *led*s, como fizemos no capítulo sobre os contadores/temporizadores, usamos a solução mostrada na Figura M.3.a. Não podemos fazer isso com motores. Pode ser óbvio, mas precisamos orientar que os pinos do MSP nunca devem ser usados para acionar diretamente um motor, como mostrado na Figura M.3.b.

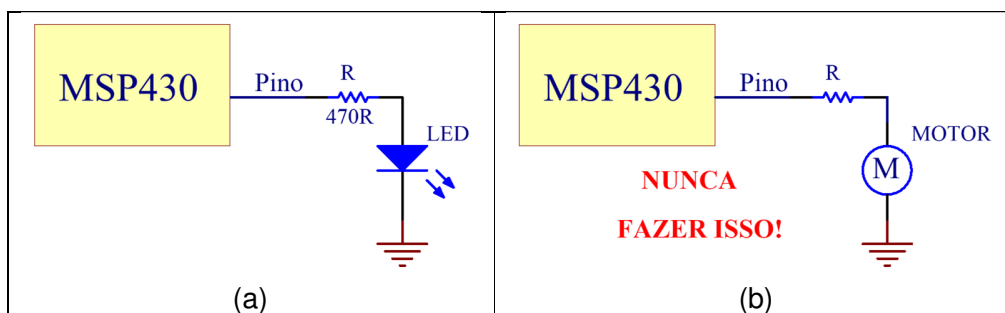


Figura M.3. Aqui é indicado o óbvio: o acionamento de um motor nunca pode ser análogo ao acionamento de um led.

A forma correta de se acionar um motor é através de um dispositivo externo, como mostrado na Figura M.4. Assim, usando o sinal digital do MSP controlamos o *dispositivo* x, e este é quem vai acionar a corrente que passa pelo motor. Este dispositivo deve ser compatível com as características do motor, em especial, com a corrente drenada por ele. Esta solução oferece uma grande vantagem que é a de permitir que a alimentação do motor, marca na figura com VM, seja diferente da alimentação do MSP430 (3,3 V). Este dispositivo x pode ser um transistor bipolar, um transistor MOSFET, um par Darlington,

etc. Como pode ser visto na Figura M4, esse tal dispositivo x pode estar entre a alimentação VM e o motor, ou entre o motor e a terra.

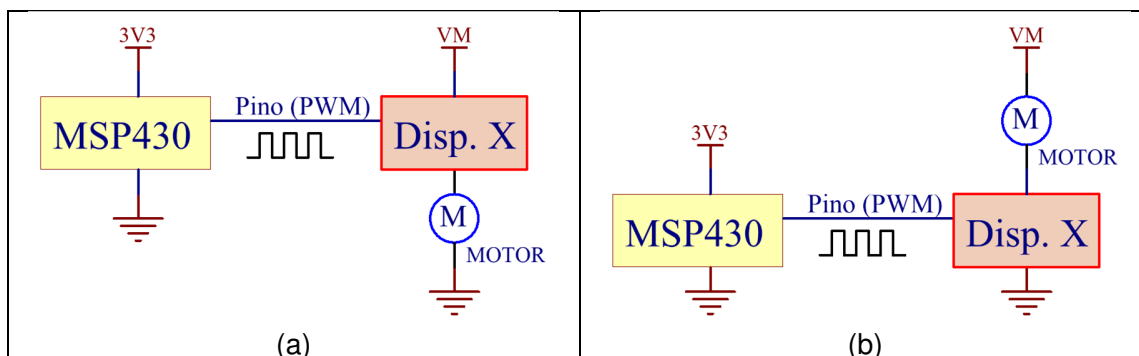


Figura M.4. MSP acionando um motor através do **Dispositivo x**. Este dispositivo pode estar entre a alimentação (VM) e o motor ou entre o motor e a terra.

### M.2.1. Acionamento com Componentes Discretos

A Figura M.5 apresenta seis sugestões para acionamento de motor usando transistor MOSFET, transistor bipolar e transistores na configuração Darlington. Os transistores indicados são apenas sugestões. Eles não são críticos e podem ser substituídos por outros equivalentes. Entretanto, é muito importante conferir a capacidade de corrente do dispositivo. Como cuidado mínimo, é recomendado que o encapsulamento seja o TO-220, pois transistores colocados neste encapsulamento têm boa capacidade de corrente, ou seja, vão conseguir acionar a grande maioria dos motores que usaremos. É claro que, para os nossos propósitos, a tensão de alimentação do motor, indicada por “VM”, não deve ser muito alta. Digamos que o limite seja 24 V. Acima disso, o leitor deve buscar informações em outra referência.

Regra do dedo queimado: com motor “rodando”, toque o transistor com o dedo. Enquanto o leitor não se queimar, é porque (mesmo quente) está tudo bem. Se o transistor ficar quente a ponto de o leitor não conseguir mais tocá-lo, então é porque se faz necessário um dissipador de calor ou usar um motor menor.

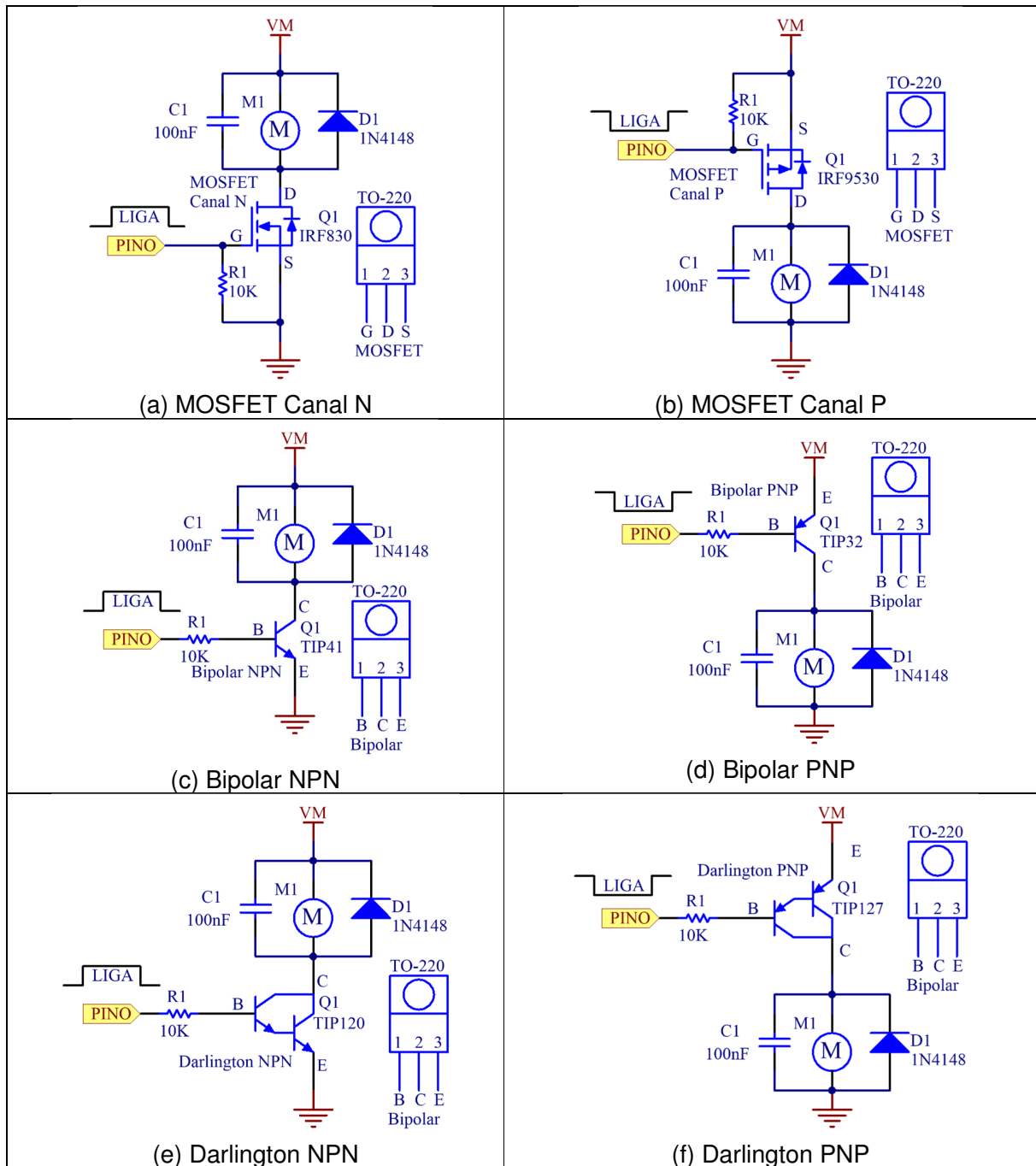


Figura M.5. Seis sugestões para acionamento de motores com o MSP. A alimentação do motor está sinalizada como “VM”.

Muitas vezes os esquemas apresentados não funcionam bem. Podem interferir no funcionamento a tensão de alimentação do motor (VM), o tipo de transistor usado e o nível de tensão no pino que aciona o transistor. Por isso, a Figura M.6 apresenta mais algumas alternativas, um pouco mais complexas, para o acionamento. Para o opto TRIAC sugerimos MOC3020, 3021, 3022 ou 3023. Esta figura apenas apresenta sugestões usando MOSFET, entretanto, podem ser aplicadas para o caso de transistores bipolares.

Ricardo Zelenovsky, Daniel Café e Eduardo Peixoto

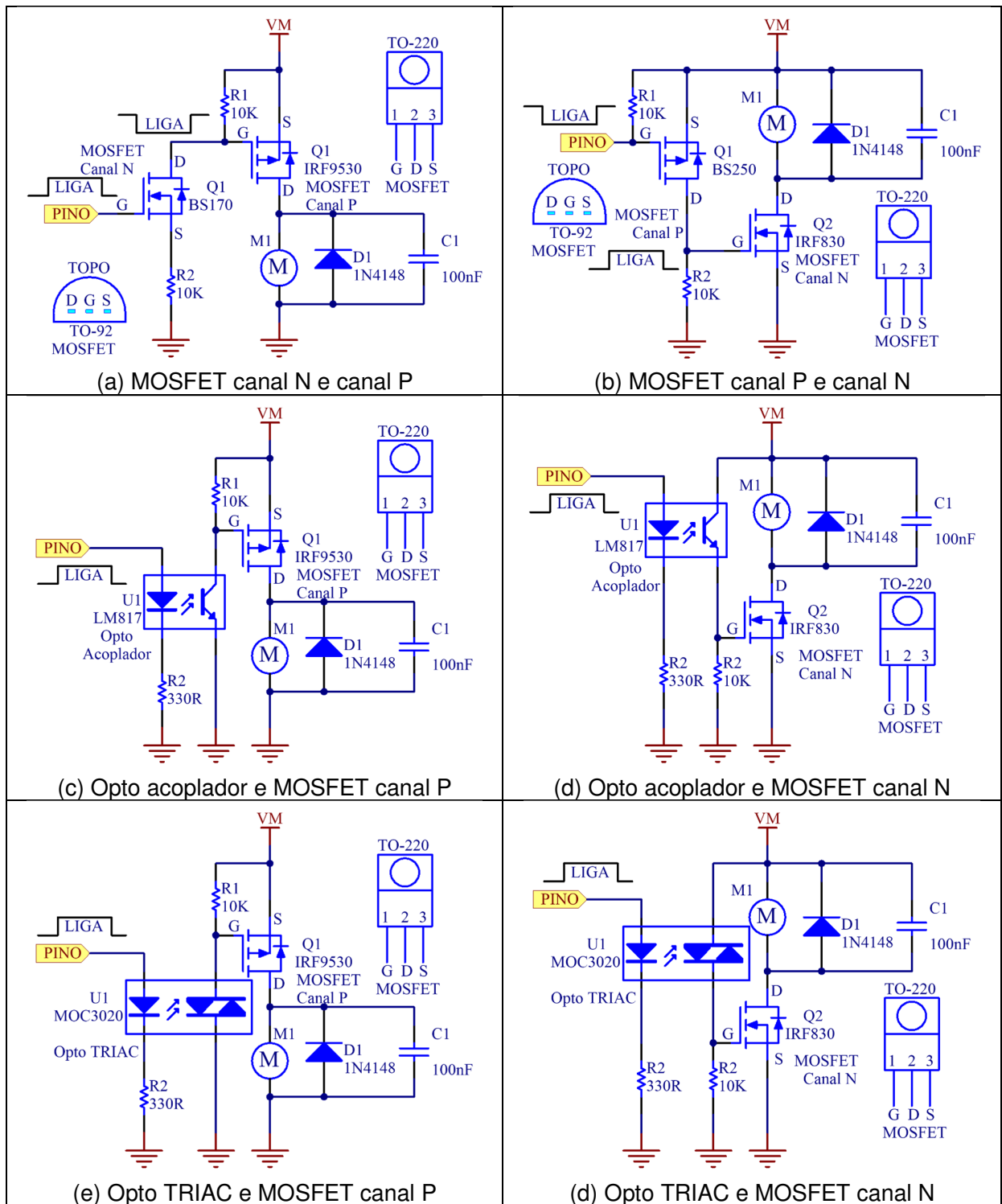


Figura M.6. Sugestões para acionamento de motores com o MSP, agora usando um componente auxiliar (outro transistor, opto acoplador ou opto TRIAC). A alimentação do motor está sinalizada como “VM”.

### M.2.1. Acionamento com Ponte H

O que vimos até agora, nos permite acionar um motor, porém ele sempre vai girar no mesmo sentido. Para trocar o sentido de rotação do motor, será necessário inverter seus terminais, para assim inverter o sentido da corrente. Vamos agora avançar um pouco e propor uma solução para acionar o motor e ainda selecionar seu sentido de rotação.

A solução é simples e recebe o nome de Ponte H. Ela está apresentada de forma hipotética na Figura M.7, onde usamos chaves para facilitar a explicação. Na próxima figura cada chave será substituída por um transistor. Note que o nome vem da maneira que motor está ligado às chaves, que lembra a letra “H”. Se acionarmos as chaves S1 e S4, como mostrado no centro da figura, a corrente passa pelo motor da esquerda para direita. Porém, se fecharmos as chaves S2 e S3, a corrente passa pelo motor no sentido inverso, da direita para a esquerda. Assim, apenas acionando as chaves, podemos girar o motor em cada um dos dois sentidos possíveis.

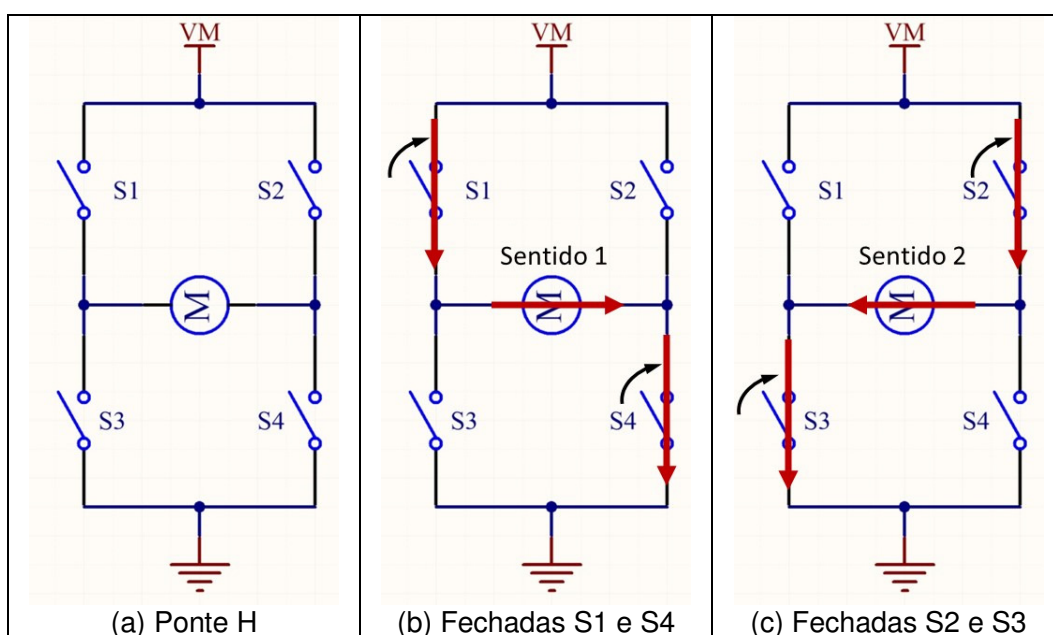


Figura M.7. Ponte H e as duas opções de rotação do motor.

A Figura M.8 apresenta uma sugestão para uma Ponte H usando transistores MOSFET. Note que na Porta (Gate) de cada transistor foi colocada a letra “L” (baixo) ou a letra “H” (alto) para indicar o nível lógico que aciona cada transistor. É fácil de ver que os níveis lógicos dos controles “PINO 1” e “PINO 2” devem estar sempre invertidos. Não foram colocados os diodos de proteção porque os transistores MOSFET usados já o trazem incorporado. Entretanto, em caso de dúvida, adicione esses 4 diodos.

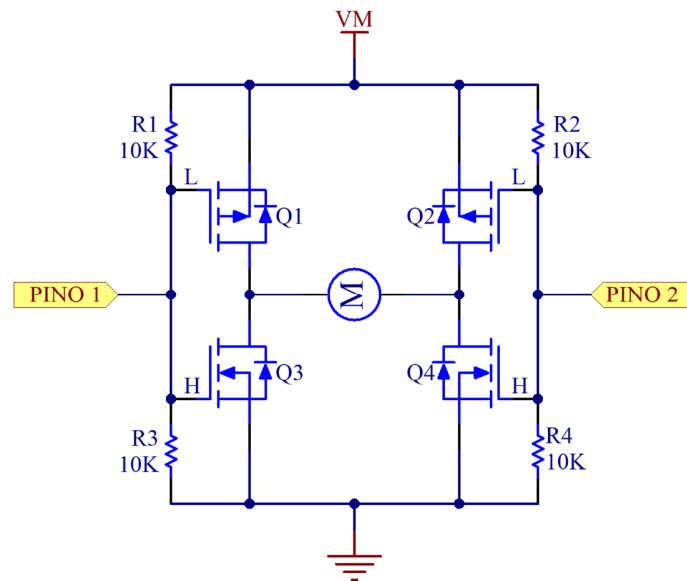


Figura M.8. Sugestão para a construção de uma Ponte H usando transistores MOSFET.

A Ponte H é uma excelente solução para acionamento de motores e um componente comercial muito comum é o CI L298. Esse chip, cujo esquema está apresentado na Figura M.9 oferece duas pontes H em um único encapsulamento. O controle está indicado na Tabela M.1, logo abaixo.

- Ponte A: motor em OUT 1 e OUT2 e os controles são En A, In1 e In2;
- Ponte B: motor em OUT 3 e OUT4 e os controles são En B, In3 e In4;
- VS é a alimentação do motor e
- VSS é a alimentação da lógica digital, em geral 5 V.

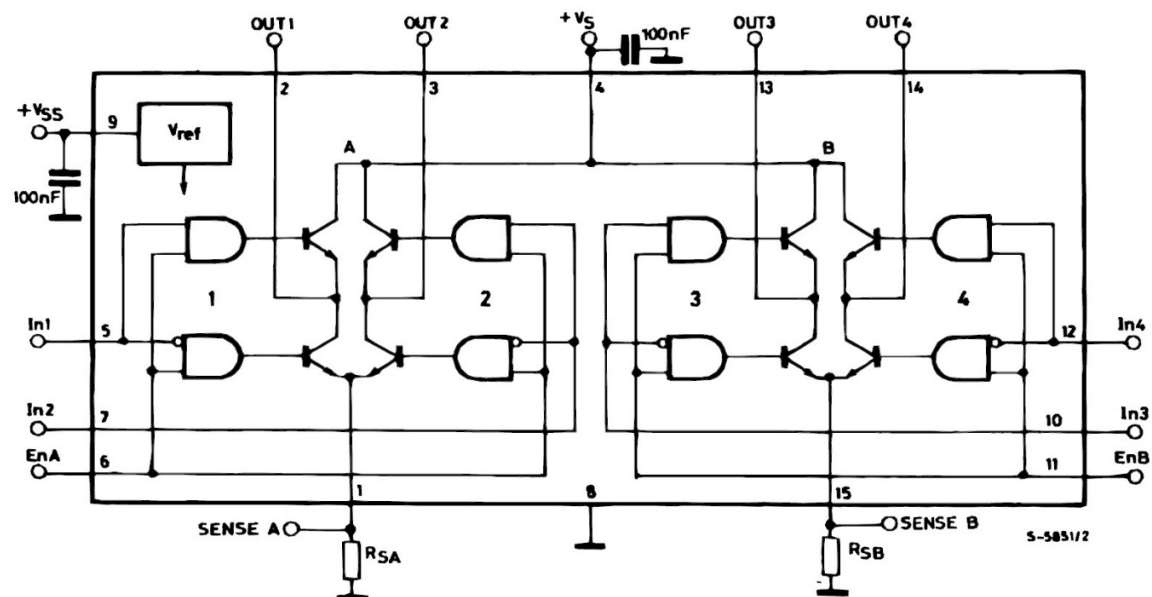




Figura M.9. Detalhe do circuito interno do L298 que oferece duas Pontes H independentes.

A Tabela M.1 resume a operação do L298. Note que se **En** = 0, o motor está livre. Se **En** = 1, as entradas **In** controlam o sentido de rotação, aqui denominados de direto e reverso. Existe uma opção de frenagem do motor, que é conseguida com **En** = 1 e as duas entradas **In** no mesmo nível lógico. Para ser usado com PWM controlando a velocidade de rotação, o sinal PWM deve ser ligado à entrada **En**.

Tabela M.1. Tabela verdade para uso do L298

En A (En B)	In 1 (In 3)	In 2 (In 4)	Função
0	X	X	Livre
1	1	0	Direto
1	0	1	Reverso
1	0	0	Freio
1	1	1	Freio

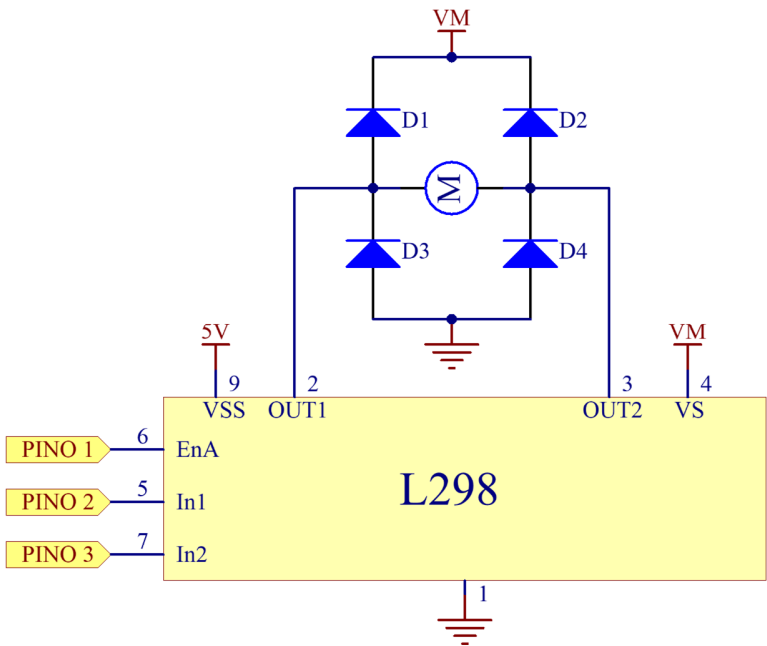


Figura M.10. Sugestão para emprego de uma das pontes H do CI L298. Note os diodos de proteção.

A Figura M.10 apresenta uma sugestão para emprego de uma das pontes H. Note que há a necessidade de se adicionar externamente os 4 diodos de proteção (*free wheeling*). Ainda pode ser adicionado um capacitor de 100 nF em paralelo com o motor para reduzir

Ricardo Zelenovsky, Daniel Café e Eduardo Peixoto

o ruído. A tensão VM (denominada VS pelo manual do L298) é a que alimenta o motor e seu valor máximo é de 45 V. O valor mínimo para VM é igual a  $V_{IH} + 2,5$  V, onde  $V_{IH}$  é o valor mínimo de tensão para uma entrada digital do L298 ser interpretada como nível alto. O manual do L298 indica  $V_{IH} = 2,3$  V (mínimo), assim precisamos de VM (VS)  $> 4,8$  V ( $2,3$  V +  $2,5$  V). A parte lógica do L298 é alimentada por VSS cujo valor típico é 5 V (faixa de 4,5 V até 7,0 V).

Para o MSP430 operando em 3,3 V, não deve haver problemas na sinalização digital para com o L298, como mostrado na Figura M.11. Temos:

- $V_{OL} < V_{IL}$ , pois  $0,25$  V  $< 1,5$  V e
- $V_{OH} > V_{IH}$ , pois  $3,05$  V  $> 2,3$  V.

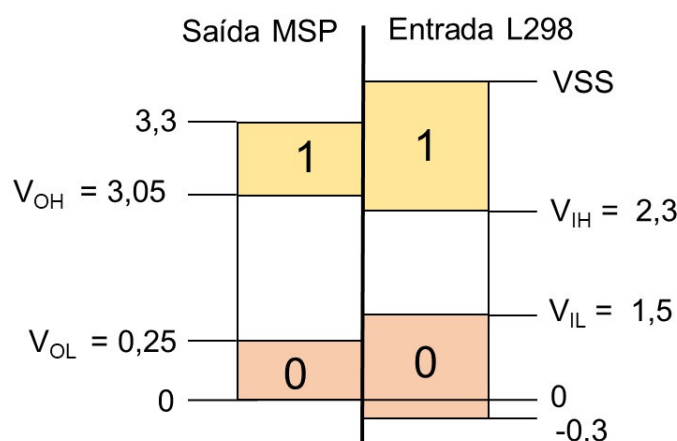


Figura M.11. Comparação da sinalização digital gerada pelo MPS operando em 3,3 V, com as exigências do L298, que é alimentado com 5,0 V. A unidade usada é o Volt.

O mercado oferece uma grande disponibilidade de placas que facilitam o uso do L298, como a apresentada na Figura M.12. Pelo detalhamento feito nesta figura, é fácil de ver que todos os recursos deste *chip* já foram disponibilizados nos pinos da placa e que também inclui os 4 diodos de proteção para cada motor. A alimentação desta placa pode parecer um pouco confusa. Como não existe um manual disponível, as orientações são conseguidas na Internet e são algumas vezes, conflitantes.

Veja na Figura M.12 que existe uma entrada para VS (alimentação do motor), rotulada com a frase “5V até 35 V” e uma outra entrada para VSS rotulada “5V (in/out)” e um jumper marcado com 12V. Após verificar as conexões com um multímetro, foi possível levantar o circuito apresentado na Figura M.13, o que permite entender um pouco melhor essas conexões.

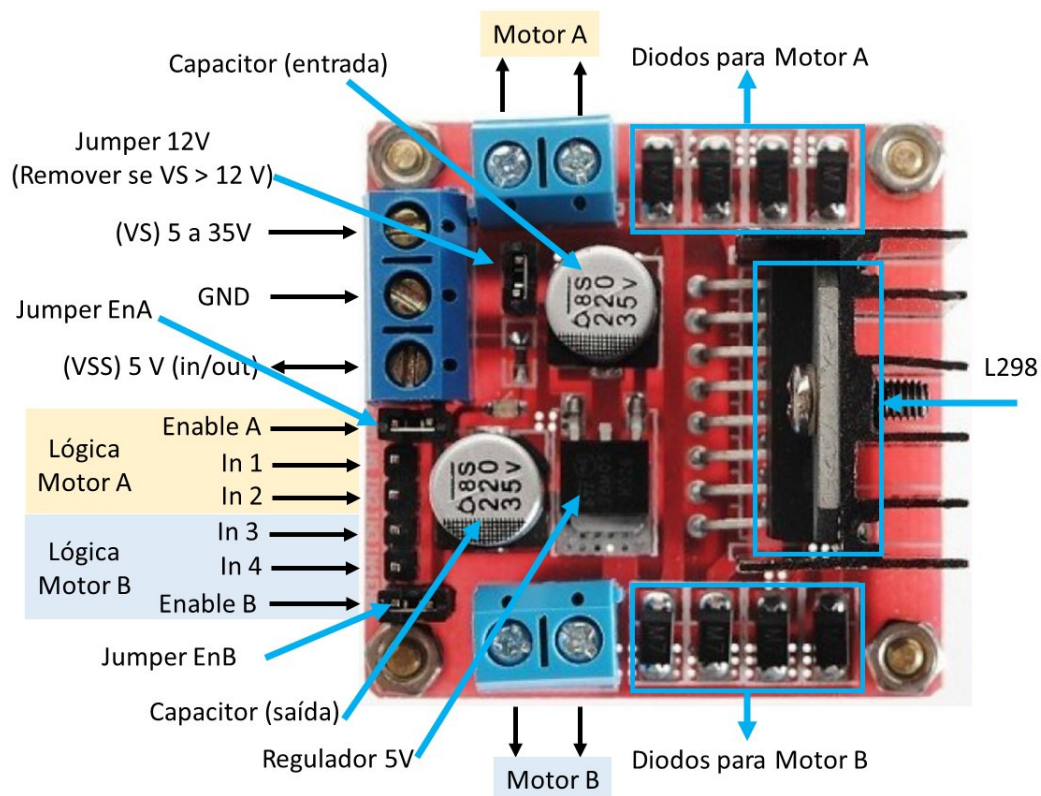


Figura M.12. Duas pontes H do L298 já montado em uma placa para fácil emprego.

Note, no esquema da Figura M.13, que essa placa possui um regulador linear 78M05 que é um regulador de 5V e capacidade de até 500 mA. Sobre esse regulador, o manual do fabricante afirma que ele possui limitação de corrente (300 mA quando em 35 V) para o caso de curto circuito e ainda que tem recurso para desligamento por aquecimento. De forma orgulhosa, esse manual diz que o produto é virtualmente indestrutível. Note ainda que essa placa usa dois capacitores eletrolíticos de 35 V, daí a limitação em 35 V, abaixo dos 45 V que o manual do L298 especifica como limite.

Quando o usuário alimenta VS com uma tensão de 5 V até 12 V e mantém o jumper J1 fechado, essa tensão também passa pelo regulador 78M05 e fornece os 5 V para o pino 4 (VS) do L298. Além disso, no terminal VSS da placa, esses 5 V ficam disponíveis e o usuário pode usá-los para alimentar seu circuito externo. Quando o usuário trabalha com VS > 12 V, ele deve remover o jumper J1 e com isso o regulador 78M05 fica inoperante. Neste caso, além de VS o usuário deve também fornecer os 5 V para o VSS.

Um outro detalhe, que está ilustrado na Figura M.13, é com relação às entradas EnA e EnB. Elas estão em um *jumper*. Se o usuário quiser que a tensão VSS (5,0 V) habilite o EnA ou EnB, basta fechar esse *jumper*. Para controlar externamente esses sinais, é preciso deixar o *jumper* aberto. Em cada *jumper*, o pino a ser usado para o controle externo é o mais próximo da borda da placa.

### Dúvidas:

Ricardo Zelenovsky, Daniel Café e Eduardo Peixoto

- 1) O regulador 78M05 tem um *dropout* de 2 V, isto significa que precisamos de  $V_S > 7,0\text{ V}$  e não apenas 5V como se encontra indicado na Internet.
- 2) A tensão máxima de entrada no regulador é 35 V, então por que pedem para remover o jumper quando  $V_S > 12\text{ V}$ ?
- 3) Se a limitação de corrente é em 300 mA, então por que o manual afirma que se pode chegar acima de 500 mA com o uso de dissipador? Será que a limitação de corrente se faz baseada no aquecimento do CI?

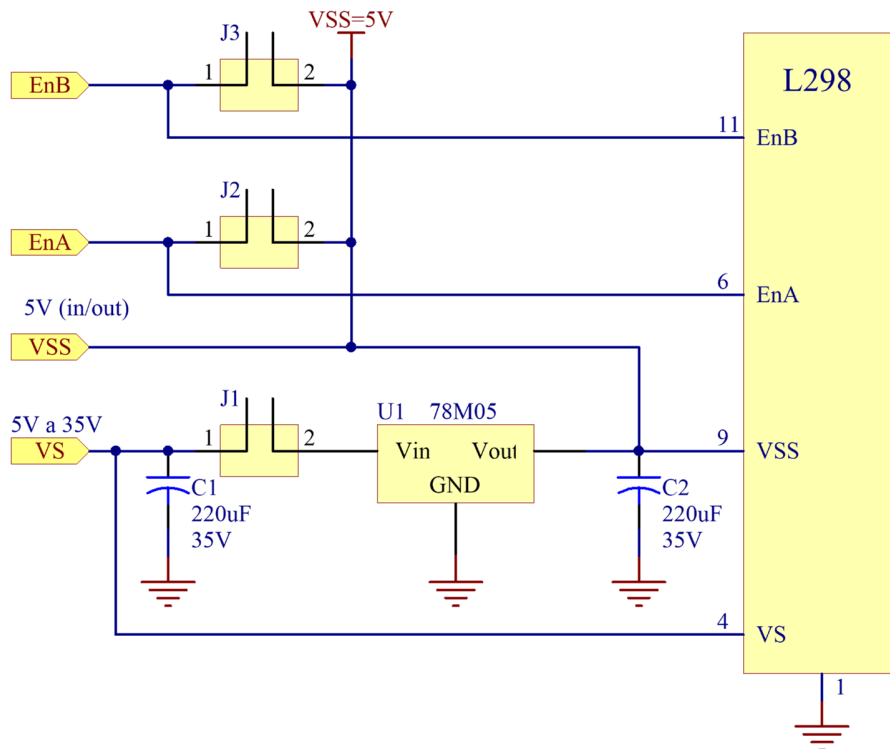


Figura M.13. Esquema do circuito de alimentação da placa com a Ponte H L298.

### M.3. Exercícios Resolvidos

**ER M.1.** Usando um transistor, construa um ambiente para testar o acionamento de um motor DC. Este ambiente deve permitir variar a frequência do PWM, o ciclo de carga e ainda medir a rotação do motor. A descrição do pedido deste problema é um pouco genérica para possibilitar a diversidade nas soluções.

**Solução:** A proposta aqui apresentada é bem versátil, mas ainda simples. Vamos escolher o *timer* TB0 para gerar o PWM, pois ele tem dupla buferização. As chaves S1 e S2 do *Launchpad* servirão para aumentar ou diminuir a frequência do PWM. Como usamos as duas chaves para alterar a frequência, precisamos de alguma solução para variar o ciclo de carga. Bem, podemos usar um potenciômetro e o ADC para ler a tensão

sobre esse potenciômetro e fazer a correspondência com o ciclo de carga. Para medir a velocidade de rotação do motor sugerimos o uso de um pedaço de canudo de plástico, desses que estão proibidos, preso ao eixo do motor, que ao girar faz sombra sobre um sensor infravermelho. Cada vez que o sensor for sombreado, significa que o motor girou meia volta. Medindo o intervalo entre esses sombreamentos, podemos calcular a velocidade de rotação do motor.

Vamos reservar o *led* vermelho para indicar a frequência do PWM e o *led* verde para piscar sinalizando o funcionamento do sensor infravermelho. A exibição do ciclo de carga do PWM e da velocidade de rotação do motor é mais complicada, pois são numéricas. Deveríamos, então, usar um LCD, mas vamos propor uma solução mais simples. Hoje em dia, é fácil conseguir um multímetro que ofereça a opção de frequencímetro. Usando dois pinos do MSP, vamos gerar duas ondas quadradas, uma com frequência numericamente idêntica ao ciclo de carga (PWM) e a outra com frequência numericamente idêntica à velocidade em RPM. Basta ligar o frequencímetro a um desses pinos para saber o ciclo de carga ou a velocidade de rotação. O diagrama da Figura M.14 sumariza a proposta.

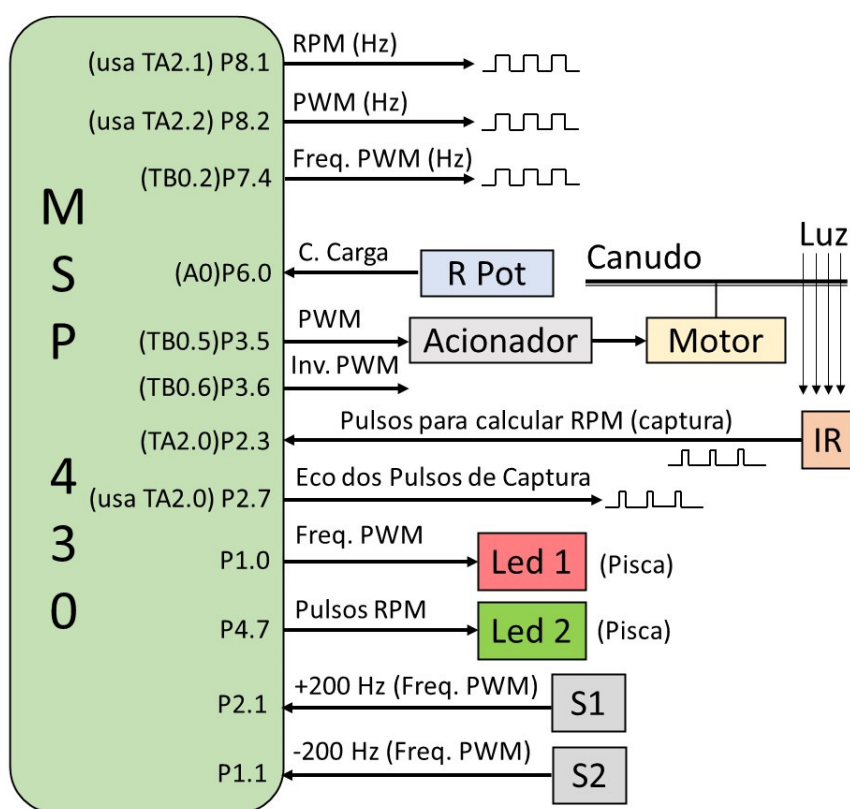


Figura M.14. Diagrama indicando a sugestão para ensaiar acionamento de motores DC.

As duas tabelas apresentadas a seguir resumem toda a interface. A Tabela M.2 apresenta as três entradas que permitem ao leitor controlar os parâmetros do experimento e ainda a

Ricardo Zelenovsky, Daniel Café e Eduardo Peixoto

recepção do sinal gerado pelo sensor infravermelho que monitora a velocidade de rotação do motor. Já a Tabela M.3 apresenta todas as saídas disponíveis. Note que são geradas duas saídas PWM, sendo uma o inverso da outra, assim, o leitor pode selecionar uma delas, de acordo com a solução empregada no acionamento do seu motor. O ciclo de carga (PWM) é apresentado multiplicado por 10. Isso foi feito porque o frequencímetro apresentou dificuldades para medir frequências baixas. Assim, ciclo de carga de 10% é apresentado com uma onda quadrada na frequência de 100 Hz. É claro que 1.000 Hz correspondem a 100% de ciclo de carga.

*Tabela M.2 Entradas de controle do ambiente de experimentação com motor DC.*

Controle do Experimento (sinalização de entrada)		
Recurso	Pino	Descrição
ADC	(A0) P6.0	<b>Ciclo de Carga:</b> ADC converte a tensão sobre o potenciômetro. Código = 0 → 0% e código = 4095 → 100%.
TA0	(TA0.2) P2.3	<b>Velocidade de rotação:</b> Usa o recurso de captura de TA0. O intervalo entre duas capturas corresponde a meia volta.
GPIO	(S1) P2.1	<b>Freq + 200 Hz:</b> Aumenta a frequência do PWM em 200 Hz.
GPIO	(S2) P1.1	<b>Freq - 200 Hz:</b> Aumenta a frequência do PWM em 200 Hz.

*Tabela M.3. Saídas de sinalização do ambiente de experimentação com motor DC.*

Resultados do Experimento (sinalização de saída)		
Recurso	Pino	Descrição
TB0	(TB0.5) P3.5	<b>Saída PWM:</b> Gera PWM na frequência selecionada e com o ciclo de carga indicado no potenciômetro. Configurado com OUTMODE = 6.
TB0	(TB0.6) P3.6	<b>Saída PWM Invertida:</b> Idêntico ao anterior. Configurado com OUTMODE = 2.
TB0	(TB0.2) P7.4	<b>Frequência do PWM:</b> Gera onda quadrada na frequência usada gerar o PWM.
GPIO	P2.7	<b>Eco dos pulsos de Captura:</b> Se captura flanco de subida, faz P2.7 = 1 e se captura flanco de descida, faz P2.7 = 0. Com osciloscópio se pode confirmar se os pulsos do sensor IR estão sendo recebidos.
GPIO	P8.1	<b>Velocidade RPM:</b> Onda quadrada numa frequência numericamente idêntica à velocidade em RPM. Usa TA2.1.
GPIO	P8.2	<b>Ciclo de Carga:</b> Onda quadrada numa frequência numericamente idêntica a 10 vezes o ciclo de carga. Usa TA2.2.
GPIO	P4.7 (Led 2)	<b>Captura RPM:</b> Indica a captura dos pulsos gerados pelo sensor IR. Inverte o estado do <i>led</i> verde a cada “n” capturas.

GPIO	P1.0 ( <i>Led 1</i> )	<b>Frequência do PWM:</b> Indica de forma simples a frequência do PWM. Sua sinalização é explicada na próxima tabela.
------	-----------------------	---

A Tabela M.4 resume a sinalização apresentada pelo *led* vermelho (*Led 1*), que indica a frequência usada para gerar o PWM, que é controlada pelas chaves S1 (+200 Hz) e S2 (-200 Hz). Com essa indicação, fica fácil para o leitor selecionar a frequência desejada, pois se caminha dentro de cada faixa com passos de 200 Hz.

*Tabela M.4 Sinalização realizada pelo led vermelho (P1.0).*

<b>Led vermelho</b>	<b>Frequência do PWM</b>
Aceso	0 Hz
Apagado	0 Hz < frequência < 1 kHz
Pisca 1 vez	1 kHz ≤ frequência < 2 kHz
Pisca 2 vezes	2 kHz ≤ frequência < 3 kHz
Pisca 3 vezes	3 kHz ≤ frequência < 4 kHz
Pisca 4 vezes	4 kHz ≤ frequência < 5 kHz
Aceso	frequência = 5 kHz

A Figura M.15 apresenta duas fotos da montagem que foi realizada sobre uma *protoboard*. Como o motor ensaiado era pequeno, ele foi preso na própria *protoboard*. Com fita isolante, prendemos 4 *leads* (terminal de resistor), um em cada lado do corpo do motor e depois os encaixamos nos orifícios da placa. O sensor infravermelho (IR) foi também preso ao corpo do motor, de forma a ficar logo abaixo do plano de rotação do canudo. É interessante isolar um dos terminais do sensor IR.

No caso desta montagem, o canudo tem 6 cm e, na metade, foi feito um pequeno orifício de forma que nele encaixasse sob pressão o eixo do motor. Não foi necessário usar cola. Na figura, é possível ver que foi usada fita adesiva azul para garantir uma boa sombra. Como o canudo era translúcido, havia o temor de que o sombreamento não fosse bom. Porém, não se conseguiu melhora apreciável e essa fita pode ser dispensada. Finalmente, para iluminar o motor foi usada uma dessas luminárias de mesa. O esquema também funciona bem com uma lanterna e, em alguns casos, com o *led* branco do celular. É preciso ter em mente que a iluminação ambiente interfere com o experimento. Provavelmente, o sensor IR não funcionará bem em um ambiente aberto e exposto ao sol.



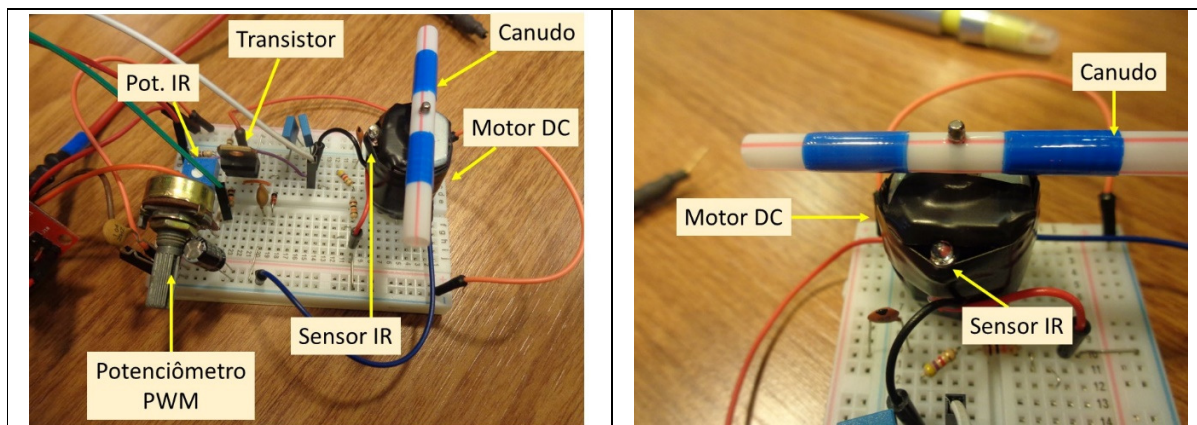


Figura M.15. Detalhes da montagem do experimento, em especial indicamos o motor com o canudo acoplado ao eixo e o sensor de infravermelho.

A Figura M.16 apresenta o esquema elétrico do ambiente proposto. Todas as entradas e saídas estão sinalizadas com setas vermelhas. A listagem apresentada mais adiante, traz o programa solução. Este programa ficou um pouco longo porque se quis beneficiar a clareza. Há o uso excessivo de variáveis globais. A seguir vamos comentar os principais itens deste ambiente de experimentação com motores.

#### Configuração da UCS:

Como são usadas várias interrupções e algumas ações são executadas dentro das rotinas dessas interrupções, foi considerado conveniente elevar o relógio da CPU para 20 MHz. Também era necessário um relógio um pouco mais rápido para o *timer*. Assim, a função `void mclk_20MHz(void)` faz a seguinte configuração na UCS:

- MCLK = 20 MHz (usando o XT2 para acionar DCO com FLLN=5 e FLLD=1);
- SMCLK = 4 MHz (usando o cristal 2 = XT2 = 4 MHz) e
- ACLK = 32.768 Hz (usando o cristal 1 = XT1 = 32.768 Hz)

#### Frequência do PWM:

Para este experimento se considerou razoável que a frequência do PWM ficasse na faixa de 0 Hz até 5 kHz. A variável global `int freq`, inicializada com zero, é responsável por registrar a frequência atual. Assim, ao ser ligado nada acontece (`freq=0`), apenas o *led* vermelho fica aceso para indicar 0 Hz. Acionamentos de S1 e S2, somam ou subtraem 200 à essa variável. A cada alteração, os limites de 0 Hz e 5 kHz são verificados e depois o valor de TB0CCR0 é atualizado de acordo com a equação abaixo. Vale lembrar que TB0 está contando no modo Ascendente/Descendente e por isso surge o número 2 no denominador.

$$TB0CCR0 = \frac{SMCLK}{2 * freq} - 1$$

#### Ciclo de Carga e Geração do PWM:

O programa armazena o ciclo de carga do PWM na variável global `float pwm` (cuidado para não confundir esse nome). O valor desta variável é atualizado a partir da tensão sobre o potenciômetro de 20 kΩ que é lida pelo ADC. Na Figura M.16 note que o



potenciômetro ( $R1 = 20 \text{ k}\Omega$ ) está ligado aos 3,3 V. Quando o potenciômetro está no mínimo, a tensão lida é 0 V. Porém, com o potenciômetro no máximo, a tensão será de 3,3 V. O potenciômetro tem valor alto para minimizar o dreno de corrente, que é de apenas  $165 \mu\text{A}$  ( $3,3 / 20\text{k}$ ).

O ADC está programado para 8 conversões repetidas (*auto scan*). As conversões são disparadas por TA0.1, na taxa de 1 kHz. Quando acontece a oitava conversão, os dados são transferidos por DMA para o vetor `int adc_vet[]`. Assim, temos um novo vetor a cada 8 ms, o que é rápido o suficiente para ler as variações no potenciômetro. Cada repetição do laço do programa principal calcula a média dessas 8 leituras e atualiza a variável `int adc`, assim nessa variável temos sempre a média das últimas 8 leituras. É importante usar a média das medidas para minimizar a influência do ruído. O ciclo de carga é calculado com a equação seguinte, que usa a precisão de “float”.

$$\text{Ciclo de Carga} = \text{pwm} = 1.000\% \frac{\text{adc}}{4.095,0}$$

Usa-se o valor 1.000% e não 100% porque, como já dissemos, o valor do pwm é sempre armazenado multiplicado por 10. Isso facilita a geração de uma onda quadrada com frequência numericamente igual ao Ciclo de Carga.

Com a frequência e o ciclo de carga especificados, usamos os comparadores TB0.5 e TB0.6 para gerar o PWM. O comparador TB0.5 opera no modo de saída 6 e o TB0.6 opera no modo de saída 2. Esses dois modos são complementares, assim, o leitor pode escolher aquele que for mais adequado para o seu circuito de acionamento do motor. Lembramos que o contador TB0R está no Modo 3 (ascendente/descendente), que é o mais adequado para o controle da velocidade de motores. O valor a ser carregado nos comparadores é dado pela conta abaixo, que usa a precisão de “float” (lembre-se de que o ciclo de carga – variável `pwm` – está multiplicada por 10). Já vimos que o valor de TB0CCR0 é calculado em função da frequência (variável `freq`) do PWM.

$$TB0CCR5 = TB0CCR6 = TB0CCR0 \left( \frac{1.000,0 - \text{pwm}}{1.000,0} \right)$$

#### Captura do Sinal do Sensor Infravermelho:

A rotação do motor é monitorada por Q1 (TIL 78) que é um fototransistor infravermelho (IR). O funcionamento de um fototransistor é bastante simples. Ele é fabricado em um encapsulamento transparente de forma que se possa projetar luz sobre o cristal de sua base. Quando há luz, a incidência de fótons na base libera portadores na estrutura cristalina e o transistor entra em condução. Uma boa quantidade de luz pode provocar a saturação. Por outro lado, quando há pouca luz incidente, não há portadores suficientes e o transistor fica cortado. Pela conexão apresentada na Figura M.16, se pode ver que quando o transistor está em condução o pino P2.3 vai para nível baixo. Porém, quando não há luz, o transistor corta e a tensão em P2.3 vai para 3,3 V.

O resistor R2 e o potenciômetro R3 controlam a sensibilidade do sensor. Quanto maior for a soma destes dois resistores, menor é quantidade de luz necessária para saturar o fototransistor. Não vamos precisar de uma fonte de luz específica. As luminárias que usamos no dia a dia geram uma grande quantidade de energia na faixa infravermelha. No caso deste experimento, foi usada uma luminária comum de mesa jogando luz



sensor funcionando, basta usar o modo de captura de um *timer* para pedir o intervalo entre dois pulsos consecutivos e calcular a velocidade de rotação. Porém, nem tudo é assim tão simples.

Como ponto de partida, era preciso saber o que exatamente o *hardware* de captura do *timer* está “vendo”. Por isso, o recurso de captura, além de medir o intervalo de tempo, também ecoa em P2.7 o que o MSP estava recebendo. Assim, o programa faz  $P2.7 = 0$ , ao capturar um flanco de descida e  $P2.7 = 1$  ao capturar um flanco de subida. Com um osciloscópio é possível ver o que realmente estava acontecendo.

As Figuras M.17 e M.18 apresentam as medições realizadas com o osciloscópio mostrando em azul a saída do sensor IR, que é entregue ao pino P2.3 e em vermelho o eco deste sinal, no pino P2.7, gerado pelo sistema de captura do MSP. Como se pode observar, o resultado foi muito bom: o sinal em vermelho está bem coerente com o azul. O leitor pode notar que o sinal em azul apresenta alguns pulsos de baixa tensão, como se fosse modulado por uma onda quadrada. Esses pulsos são interferência do PWM que está acionando o motor. Era de se esperar que sua amplitude fosse muito mais baixa, mas eles não interferiram com a medição. Uma possível explicação para esses pulsos é a quantidade de corrente consumida pelo motor cada vez que o seu transistor é acionado e que acaba por perturbar a fonte de 5 V (que vem do USB).

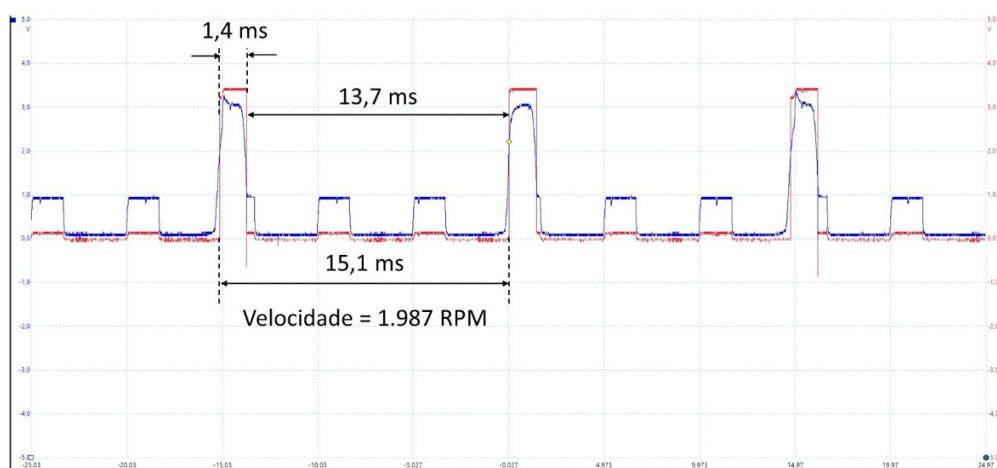
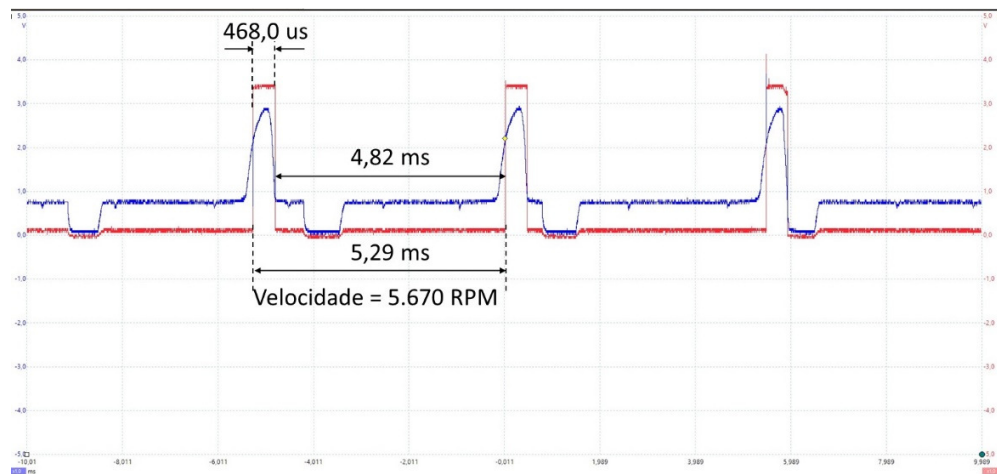
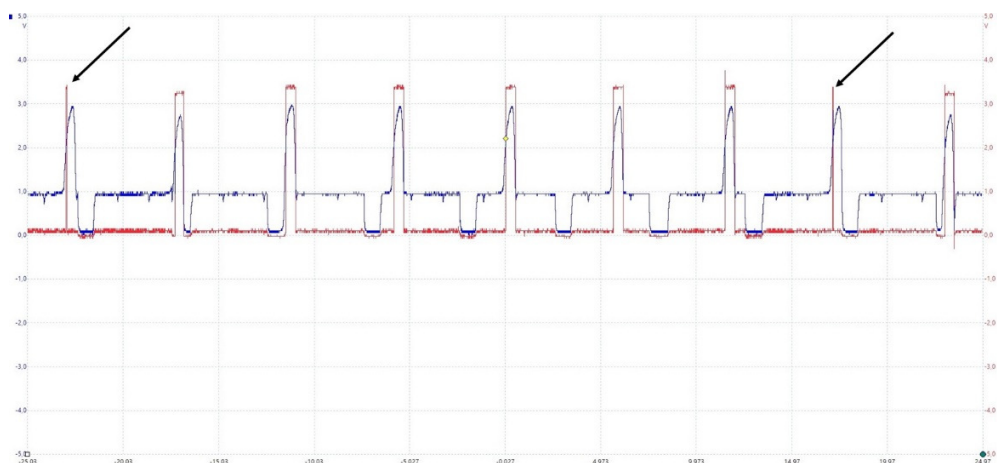


Figura M.17. Imagem do osciloscópio mostrando em azul a saída do sensor IR e em vermelho as capturas realizadas pelo timer do MSP, com o motor em 1.987 RPM.



*Figura M.18. Imagem do osciloscópio mostrando em azul a saída do sensor IR e em vermelho as capturas realizadas pelo timer do MSP, com o motor em 5.670 RPM.*

Porém, a experimentação mostrou que, em alguns casos, existem problemas. As Figuras M.19 e M.20 apresentam dois casos problemáticos. Na Figura M.19, as setas indicam que o MSP não capturou corretamente o sinal do sensor IR. Isso, entretanto, não seria um grande problema, já que, em todo o caso, o flanco de subida estava no instante correto. Já a Figura M.20 apresenta um caso mais preocupante. As setas em linha contínua mostram dois instantes em que aconteceram múltiplas capturas. Na figura não é possível perceber com clareza, mas um flanco na linha azul resultou em vários flancos na linha vermelha. A Figura M.21 apresenta este fato com mais detalhes. Essas capturas equivocadas ficam cada vez mais frequentes à medida que se aumenta a rotação do motor.



*Figura M.19. Nesta imagem estão sinalizados dois problemas com a captura do sinal gerado pelo sensor IR.*

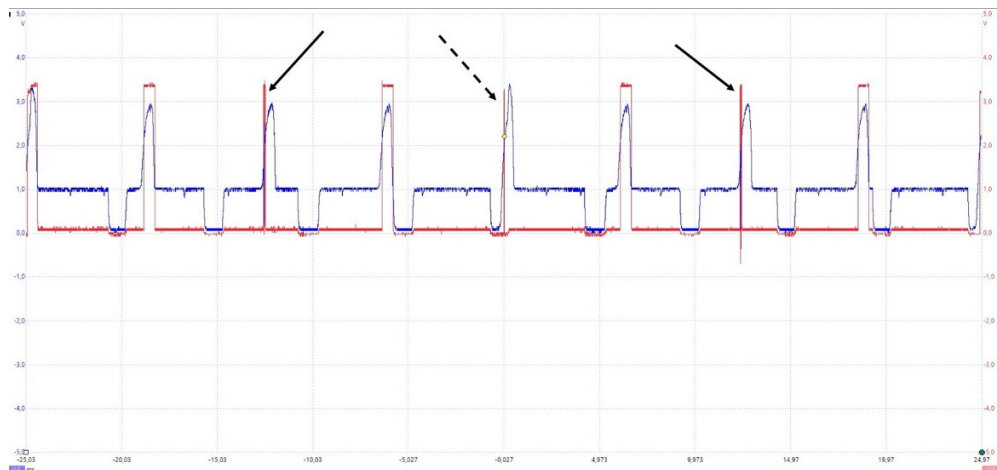


Figura M.20. Aqui é apresentado um problema ainda mais grave, as setas em linha contínua indicam instantes em que o MSP fez várias capturas (curtas) seguidas. Não é possível ver com detalhes, mas a linha vermelha subiu e desceu várias vezes em cada evento (note a linha mais grossa).

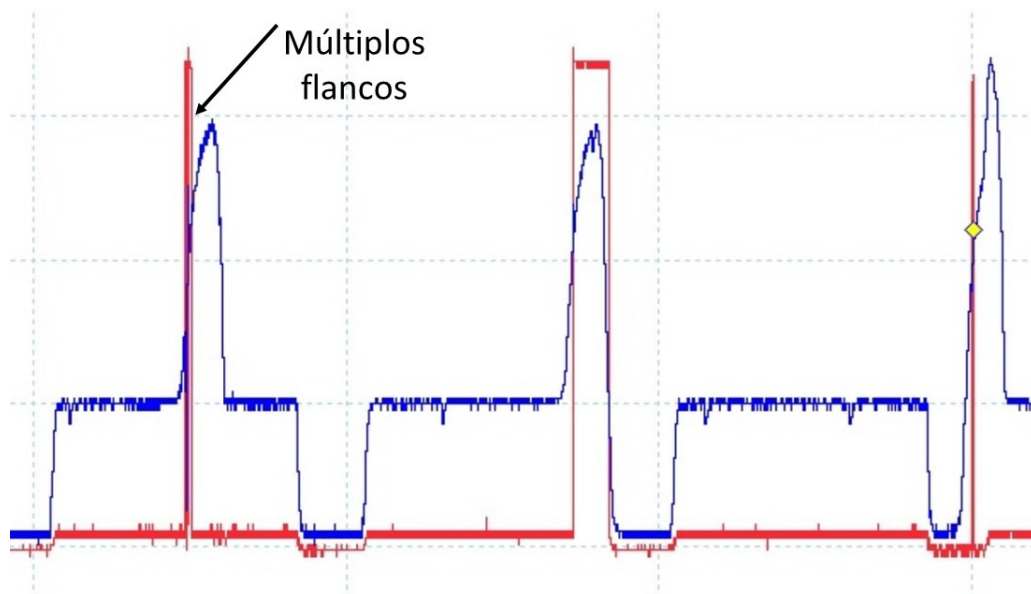


Figura M.21. Detalhe de uma captura com problemas.

Em termos práticos, esses pulsos problemáticos não podem ser levados em conta durante o cálculo da velocidade de rotação do motor. Era, portanto, necessário conseguir uma forma de se separar as capturas corretas das equivocadas. O critério usado foi o de comparar a largura do pulso em nível alto com a largura do pulso em nível baixo. Vamos usar os dados das Figuras M.17 e M.18, como mostrado a seguir.

Figura M.17 →  $Relação = \frac{T_{alto}}{T_{baixo}} = \frac{13,7}{1,4} = 9,79$

Figura M.18 →  $Relação = \frac{T_{alto}}{T_{baixo}} = \frac{4,82}{0,47} = 10,26$

Parece existir uma relação quase que constante. Na verdade, a experimentação mostrou que essa relação pode ficar bem abaixo de 9 e ir bem acima de 10. O posicionamento da luminária, a intensidade de luz e o tipo da lâmpada interferem. Por isso, o programa permite ao leitor definir os valores máximo e mínimo para que um par de pulsos (alto e baixo) possa ser considerado válido. Veja que na listagem, são definidas as duas constantes que estão copiadas abaixo. Esses valores funcionaram muito bem, entretanto, o usuário pode variar essas constantes para seu caso particular.

```
#define RMIN 5      //Mínima relação Low/High (Pulsos IR)
#define RMAX 20     //Máxima relação Low/High (Pulsos IR)
```

Para sinalizar ao leitor que a captura está funcionando, o *led* verde é invertido a cada 10 capturas. Assim, enquanto este *led* piscar, é porque a captura está acontecendo. Esse ritmo de pisca está definido com a constante `VD_FREQ` e pode ser alterado.

Para finalizar, é preciso comentar que a captura é realizada com o comparador 0 de TA2 (TA2.0). Para isso, o relógio de TA2 foi programado para 500 kHz (SMCLK/8) e o contador TA2 foi especificado para operar no modo Contínuo. Sob essas condições, o intervalo máximo entre duas capturas seria de 131 ms ( $2\mu s \times 65.536$ ) que, em alguns casos pode ser pequeno, pois corresponde a 457 RPM. Por isso foi usado um contador auxiliar em software, denominado `unsigned int ta2_aux`, que usa a interrupção TAIFG para contar as ultrapassagens de TA2. Assim, a captura concatena TA2CCR0 com `ta2_aux` o que resulta em 32 bits (variável long) e fornece uma excelente faixa de contagem.

#### Cálculo da Velocidade de Rotação do Motor:

A interrupção de captura, cada vez que identifica pulsos com perfil correto, calcula o intervalo entre os flancos de subida consecutivos, o armazena no vetor `rpm_vet[]` e depois sinaliza tornando verdadeiro o flag `rpm_flag`. Assim, o vetor `rpm_vet[]` tem sempre os últimos intervalos medidos. A quantidade de medições a ser armazenada é definida com a constante `RPM_QTD`, que para este experimento está em 16.

O laço principal, cada vez que percebe que o flag `rpm_flag` foi alterado para verdadeiro, calcula média das capturas e a usa para calcular a velocidade em RPM, com a seguinte conta, onde TA2CLK (500 kHz) é frequência de relógio que aciona o contador TA2.

$$RPM = 60 \frac{TA2CLK}{2 \times média}$$

#### Sinalização de RPM e Ciclo de Carga (PWM):

Para indicar a velocidade e o ciclo de carga é preciso gerar ondas quadradas em frequências numericamente idênticas à RPM e ao Ciclo de Carga (PWM) pelos pinos P8.1 e P8.2. Os recursos do *timer* TA2 são assim usados:

RPM: TA2CCR1 → vai gerar uma onda quadrada em P8.1 e  
 PWM: TA2CCR2 → vai gerar uma onda quadrada em P8.2.

Como o contador TA2 opera em modo Contínuo, usaremos as interrupções para incrementar os valores de TA2CCR1 e TA2 CCR0, como foi feito no ER 7.4.

Para melhor compreensão, vamos a um exemplo. Para indicar 1.000 RPM precisamos gerar em P8.1 uma onda quadrada de 1 kHz. Isto significa que a cada 500  $\mu$ s invertemos o estado deste pino. No intervalo de 500  $\mu$ s, TA2 realiza 250 contagens. Precisamos então provocar uma interrupção a cada 250 contagens. A solução então é simples: começamos com TA2CCR1 = 0 e, a cada interrupção, invertemos P8.1 e somamos 250 a TA2CCR1. Neste caso, vamos dizer que o passo é de 250 contagens. Então, tudo se resume em calcular o valor do passo.

Foram criadas funções para calcular o passo para cada caso:

`unsigned int pwm_ta2p2(void)` → calcula o passo para TA2CCR2 e  
`unsigned int rpm_ta2p1(void)` → calcula o passo para TA2CCR1 e

Se o leitor verificar essas duas funções na listagem a seguir, irá verificar que elas são quase idênticas (diferem apenas no limite máximo de RPM e PWM). Entretanto, elas foram escritas separadas para o caso de que, num experimento futuro, precisem ser diferentes. Os limites são verificados, para evitar resultados absurdos. No presente caso de considera o mínimo de 0,5% de ciclo de carga ou de 5 RPM. O máximo é de 100,0% do ciclo de carga e a rotação de 10.000 RPM. O cálculo do passo é simples, onde TA2CLK é de 500 kHz e o ciclo de carga é aqui representado pela variável PWM.

$$PASSO_{RPM} = \frac{TA2CLK}{2 \times RPM} \text{ e } PASSO_{PWM} = \frac{TA2CLK}{2 \times PWM}$$

As variáveis globais `unsigned int ta2_rpm_passo` e `unsigned int ta2_pwm_passo` são as responsáveis por armazenar o valor do passo que deve ser adicionado ao TA2CCR1 ou TA2CCR2 a cada interrupção.

#### Sinalização da Frequência do PWM com o Led Vermelho:

É necessária uma forma simples e eficiente de sinalizar ao usuário a faixa de frequência em que ele está operando o PWM. Isto é feito com o *led* vermelho piscando em uma sequência especial. A Tabela M.4 (já apresentada), especifica essa sinalização.

A forma simples de fazer isso foi usando a interrupção por ultrapassagem (TAIFG) de TA2, que está operando no modo contínuo, na frequência de 500 kHz. Nesse caso, a interrupção acontece a cada 131 ms ( $2 \mu$ s x 65.536). Foi criada a variável global `unsigned int vm[10]`, que armazena o padrão para acender ou apagar esse *led*. Usando um contador, a cada interrupção, uma posição deste vetor é consultada. Se essa posição estiver em 1, o *led* vermelho é aceso e se estiver em 0, o *led* é apagado. Assim, basta escrever neste vetor o padrão que se quer apresentar.

Exemplos:

2 piscadas seguidas: `vm[10]={1,0,1,0,0,0,0,0,0,0}`

3 piscadas seguidas: `vm[10]={1,0,1,0,1,0,0,0,0,0}`

aceso: `vm[10]={1,1,1,1,1,1,1,1,1,1}`

*Listagem do programa solução para o ER M.1  
(As duas faixas coloridas são para referência no próximo exemplo)*

```
// ER M.1
// Ambiente para ensaio de motor DC
// (TB0.2) P7.4 --> Frequência do PWM
// (TB0.5) P3.5 --> Saída PWM
// (TB0.6) P3.6 --> Saída PWM invertida
// (A0-ADC) P6.0 <-- Pot para ciclo de carga
// (TA0.1)      --> Disparar ADC
// (TA0.2) P2.3 <-- Pulsos do sensor IR (RPM)
// (TA2.1) P8.1 --> 10*PWM em Hz (onda quadrada)
// (TA2.2) P8.2 --> RPM em Hz (onda quadrada)
// (S1)    P2.1 <-- +200 Hz na Freq PWM
// (S2)    P1.1 <-- -200 Hz na Freq PWM
// (Led 1) P1.0 --> Pisca para indicar faixa freq PWM
// (Led 2) P4.7 --> Pisca para indicar sensor IR

#include <msp430.h>

#define TRUE      1
#define FALSE     0

#define SMCLK      4E6      //SMCLK = 4 MHz
#define TA2CLK (SMCLK/8)    //TA2CLK = 500 kHz
#define T1ms       3999    //TA1 --> Interrup ADC = (4E6/1000)-1

#define ADC_TOTAL   8      //Qtd de conv média ciclo carga
#define ADC12MEM0ADDR (SFR_FARPTR) 0x0720 //ADCMEM0

#define RMIN        5      //Mín relação Low/High (Pulsos IR)
#define RMAX        20     //Máx relação Low/High (Pulsos IR)
#define RPM_QTD     16     //Tamanho vetor guardar rpm
#define RPM_SEM_MAX 5000   //Repetições para indicar RPM=0
#define VD_FREQ     10     //Ritmo led verde pisca

#define ABT          1     //Constante representa SW Aberta
#define FEC          0     //Constante representa SW Fechada
#define DBC          2000  //Atraso para o debounce

// Protótipo das funções
void vm_freq(void);          //Pisca led vermelho
unsigned int pwm_ta2p2(void); //Passo para RPM
unsigned int rpm_ta2p1(void); //Passo para 10*PWM
void tb0_config(void);       //TB0
void ta2_config(void);       //TA2
void ta0_config(void);       //TA0
void dma_config(void);       //Config DMA
void adc_config(void);       //Config ADC
void mclk_20MHz(void);       //Config UCS
```



```

int check_s1(void);           //Checar chave S1
int check_s2(void);           //Checar chave S2
void config_pinos(void);      //Config S1, S2, Led 1 e Led 2
void debounce(void);          //Delay para debounce

// Variáveis Globais
volatile int freq=0;           //Freq do PWM
volatile int adc,adc_vet[ADC_TOTAL]; //Conversões ADC
volatile float pwm=500;        //10*PWM = Valor atual do PWM
volatile unsigned int rpm;      //Velocidade em RPM
volatile unsigned int ta2_rpm_passo=1000; //Passo para gerar RPM Hz
volatile unsigned int ta2_pwm_passo=1000; //Passo para gerar 10*PWM Hz
volatile unsigned int ta2_aux=0; //Contador overflow TA2 para RPM
volatile unsigned int rpm_vet[RPM_QTD]; //Vetor com capturas em contagens
volatile unsigned int id;       //Indexador vetor captura
volatile unsigned long tp1,tp2,tp3,rel; //Instantes de captura
volatile unsigned long dif1,dif2; //Largura pulsos capturados
volatile unsigned int rpm_flag; //Marcar que RPM foi calculado

volatile int vd_cont;           //Contar para piscar Verde
volatile unsigned int vm[10],vm_cont=0; //Piscar vermelho

int ps1=ABT,ps2=ABT;           //Estado anterior das chaves

int main(void)
{
    unsigned int i,soma,rpm_cont=0;
    volatile unsigned long rpm_aux; //aux no cálculo RPM
    WDTCTL = WDTPW | WDTHOLD;       // stop watchdog timer
    mclk_20MHz();
    config_pinos();
    tb0_config();
    ta2_config();
    ta0_config();
    dma_config();
    adc_config();
    vm_freq();

    __enable_interrupt ( );
    while(1){
        if (check_s1()) freq+=200;
        if (check_s2()) freq-=200;
        if (freq<0)      freq=0;      //Limite 0
        if (freq>5000)    freq=5000;  //Limite 5000
        if (freq != 0)    TB0CCR0=(SMCLK/(2*freq))-1;
        else              TB0CCR0=0;
        vm_freq();        //Vermelho indica freq

        soma=0;
    }
}

```

```

    for (i=0; i<ADC_TOTAL; i++)
        soma += adc_vet[i];
    adc=soma/ADC_TOTAL;           //Média das ADC_TOTAL conversões
    pwm=1000*(adc/4095.);         //Calcula ciclo de carga
    ta2_pwm_passo=pwm_ta2p2();    //Passo TA2.2 para 10*PWM Hz
    TB0CCR2=TB0CCR0/2;           //Freq do PWM
    TB0CCR5=TB0CCR0*((1000.-pwm)/1000); //Ciclo de carga TB0.5
    TB0CCR6=TB0CCR0*((1000.-pwm)/1000); //Ciclo de carga TB0.6

    if (rpm_flag==TRUE){
        rpm_flag=FALSE;
        rpm_aux=0;
        for (i=0; i<RPM_QTD; i++)    rpm_aux += rpm_vet[i];
        rpm_aux = rpm_aux/RPM_QTD;    //Média das capturas
        rpm = ((float)TA2CLK/(2*rpm_aux))*60; //Calcular RPM
        ta2_rpm_passo=rpm_ta2p1();    //Programar RPM Hz
    }
    else{
        rpm_cont++;                  //Laço sem captura
        if (rpm_cont == RPM_SEM_MAX){ //Ver limite
            rpm_cont=0;              //Zerar RPM
            rpm=0;
            ta2_rpm_passo=rpm_ta2p1(); //Programar RPM Hz
        }
    }
}
return 0;
}

// Led Vermelho pisca para indicar freq
// Calcula qtd de piscadas
// 0 Hz ou 5000 Hz --> Aceso
// 0 < 999 Hz --> Apagado
// 1000 < 1999 --> 1 vez      2000 < 2999 --> 2 vezes
// 3000 < 3999 --> 3 vezes    4000 < 4999 --> 4 vezes
void vm_freq(void){
    unsigned int i;
    for (i=0; i<10; i++)    vm[i]=0;
    switch(freq/1000){
        case 1: vm[0]=1; break;           //1X
        case 2: vm[0]=vm[2]=1; break;     //2X
        case 3: vm[0]=vm[2]=vm[4]=1; break; //3X
        case 4: vm[0]=vm[2]=vm[4]=vm[6]=1; break; //4X
        case 5: vm[0]=vm[2]=vm[4]=vm[6]=vm[8]=1; break; //5X
        default: break;
    }
    if (freq==0 || freq==5000)            //Sempre aceso
        for (i=0; i<10; i++)    vm[i]=1;
}

```

```

// PWM, calcular passo para TA2 gerar Freq = 10*PWM
unsigned int pwm_ta2p2(void){
    unsigned int aux;
    if (pwm < 5)                aux=TA2CLK/(2*5);
    else if (pwm > 1000.)        aux=TA2CLK/(2*1000);
    else                        aux=TA2CLK/(2*pwm);
    return aux;
}

// RPM, calcular passo para TA2 gerar Freq = RPM
unsigned int rpm_ta2p1(void){
    unsigned int aux;
    if (rpm < 5)                aux=TA2CLK/(2*5);
    else if (rpm > 10000.)       aux=TA2CLK/(2*10000);
    else                        aux=TA2CLK/(2*rpm);
    return aux;
}

// TA2.1 e TA2.2 - Interrupção
// Gerar onda quadrada para RPM em Hz e 10*PWM em Hz
// Também controla pisca do led vermelho (P1.0)
// #pragma vector = TIMER2_A1_VECTOR
#pragma vector = 43
__interrupt void ta2_ccifg(void){
    switch(TA2IV){
        case 2:    P8OUT^=BIT1;    //TA2.1 = RPM = P8.1
                   TA2CCR1+=ta2_rpm_passo;
                   break;
        case 4:    P8OUT^=BIT2;    //TA2.2 = 10*PWM = P8.2
                   TA2CCR2+=ta2_pwm_passo;
                   break;
        case 0XE:  ta2_aux++;
                   P1OUT &= ~BIT0; //Piscar led vermelho
                   if (vm[vm_cont] == 1) P1OUT |= BIT0;
                   if (++vm_cont == 10) vm_cont=0;
                   break;
        default:   break;
    }
}

// TA2.0 Interrupt - Captura cálculo RPM
// #pragma vector = TIMER2_A0_VECTOR
#pragma vector = 44
__interrupt void ta2_ccr0(void){
    if ((TA2CCTL0&CM_3)==CM_1){    //Flanco subida
        tp2=((long)ta2_aux<<16)+TA2CCR0; //Ler captura
        TA2CCTL0 = CM_2|SCS|CAP|CCIE;    //Mudar para flanco subida
        P2OUT |= BIT7;                    //P2.7 = 1
        if (++vd_cont == VD_FREQ){        //Contar verde

```

```

        P4OUT ^= BIT7;           //Inverter led verde
        vd_cont=0;               //Zerar contador
    }
}
else{
    tp3=((long)ta2_aux<<16)+TA2CCR0; //Flanco descida
    dif1=tp2-tp1;                 //Diferença 1
    dif2=tp3-tp2;                 //Diferença 2
    if (dif1 != 0) rel=dif1/dif2;  //Relação entre elas
    if ((rel>RMIN) && (rel<RMAX)){ //Dentro da faixa esperada?
        rpm_vet[id++]=tp3-tp1;    //Armazenar captura
        rpm_flag=TRUE;           //Avisar que houve captura
    }
    if (id==RPM_QTD) id=0;        //Verificar limite do vetor
    tp1=tp3;                     //Guardar para prox captura
    TA2CCTL0 = CM_1|SCS|CAP|CCIE; //Mudar para flanco descida
    P2OUT &= ~BIT7;              //P2.7 = 0
}
}

// TB0 config --> Gerar PWM
// (P7.4) TB0.2 --> Freq do PWM
// (P3.5) TB0.5 --> PWM Modo 6
// (P3.6) TB0.6 --> PWM Modo 3 (invertido)
void tb0_config(void){
    TB0CTL = TBSSEL_2 | MC_3;      //SMCLK e MC=3
    TB0CCTL0= 0;
    TB0CCR0=1000;
    TB0CCTL2= CLLD_2 | OUTMOD_6;   //P7.4 = Freq do PWM
    TB0CCR2=TB0CCR0/2;
    TB0CCTL5= CLLD_2 | OUTMOD_6;   //P3.5 = PWM acionar motor
    TB0CCR5=TB0CCR0/2;
    TB0CCTL6= CLLD_2 | OUTMOD_2;   //P3.6 = Inv PWM acionar motor
    TB0CCR6=TB0CCR0/2;
    ;
    P7DIR |= BIT4;                 //P7.4 = Freq PWM
    P7SEL |= BIT4;
    ;
    P3DIR |= BIT6|BIT5;            //P3.5 = PWM acionar motor
    P3SEL |= BIT6|BIT5;            //P3.6 = Inv PWM acionar motor
}

// TA2 config em 4 MHz Modo Contínuo
// TA2.0 --> (P2.3) Captura para calcular RPM
// TA2.1 --> RPM em P8.1
// TA2.2 --> 10*PWM em P8.2
void ta2_config(void){
    TA2CTL = TASSEL_2 | ID_3 | MC_2 | TAIE; //SMCLK/8, MC=2, hab int
    TA2CCR1 = 0;                       //P8.1 = RPM em Hz
    TA2CCTL1 = CCIE;                   //Hab int CCR1 (RPM)
}

```

```

    TA2CCR2 = 0;                //P8.2 = 10*PWM em Hz
    TA2CCTL2 = CCIE;           //Hab int CCR2 (PWM)
    P8DIR |= BIT2 | BIT1;      //P8.1=P8.2=Saída
    P8OUT &= ~(BIT2 | BIT1);    //P8.1=P8.2=0
    ;
    TA2CCTL0 = CM_2 | SCS | CAP | CCIE; //Captura pulsos RPM
    P2DIR &= ~BIT3;            //P2.3 recebe pulsos IR
    P2REN |= BIT3;
    P2OUT |= BIT3;
    P2SEL |= BIT3;
    P2DIR |= BIT7;            //Eco pulsos de captura
    P2OUT &= ~BIT7;          //Eco = 0
}

// TA0.1 --> disparar ADC a cada 1 mseg
void ta0_config(void){
    TA0CTL = TASSEL_2 | MC_1;    //SMCLK e MC=1
    TA0CCR0 = T1ms;              //T=1ms --> 1 kHz
    TA0CCTL1 = OUTMOD_6;         //Hab int CCR0
    TA0CCR1= TA0CCR0/2;
}

// DMA transfer ADC para adc_vet[8]
void dma_config(void){
    DMACTL0 = DMA0TSEL_24;       //ADC dispara DMA
    DMA0CTL = DMASRCINCR_3 |     //Incr end fonte
              DMADSTINCR_3 |    //Incr end destino
              DMA0T_5           //Modo Bloco Repetido
              DMAEN ;           //Habilitar DMA
    DMA0SA = ADC12MEM0ADDR;      //Endereço ADC MEM0
    DMA0DA = &adc_vet;          //Endereço destino
    DMA0SZ = ADC_TOTAL;         //Qtd. de transferências
}

// ADC para 8 conversões disparadas por TA0.1 (
void adc_config(void){
    ADC12CTL0 &= ~ADC12ENC;      //Desab p/ configurar
    ADC12CTL0 = ADC12ON;         //Ligar ADC
    ADC12CTL1 = ADC12CSTARTADD_0 |
              ADC12SHS_1         //TA0.1 Dispara ADC
              ADC12SHP           // S/H usar timer
              ADC12DIV_7         //Clock ADC Divisor = 8
              ADC12SSEL_3        //Clock ADC = SMCLK
              ADC12CONSEQ_3;      //Seq de canais
    ADC12CTL2 = ADC12TCOFF |     // Desligar sensor temperatura
              ADC12RES_2;        // Resolução 12-bit
    ADC12MCTL0 = ADC12SREF_0 | ADC12INCH_0;
    ADC12MCTL1 = ADC12SREF_0 | ADC12INCH_0;
    ADC12MCTL2 = ADC12SREF_0 | ADC12INCH_0;

```

```

    ADC12MCTL3 =          ADC12SREF_0 | ADC12INCH_0;
    ADC12MCTL4 =          ADC12SREF_0 | ADC12INCH_0;
    ADC12MCTL5 =          ADC12SREF_0 | ADC12INCH_0;
    ADC12MCTL6 =          ADC12SREF_0 | ADC12INCH_0;
    ADC12MCTL7 = ADC12EOS | ADC12SREF_0 | ADC12INCH_0;
    P6SEL |= BIT0;          //Deslig parte digital de P6.0
    ADC12CTL0 |= ADC12ENC;   //Habilitar ADC12
}

// UCS: Programar relógios
// ACLK  = XT1 =>      32.768 Hz
// SMCLK = XT2 =>   4.000.000 Hz
// MCLK  = DCO => 20.000.000 Hz
// 20 MHz = 4 MHz (XT2) x 1 (FLLD) x 5 (FLLN)
void mclk_20MHz(void){

    // Configure crystal ports
    P5SEL |= BIT2 | BIT3 | BIT4 | BIT5; // Config P5 para cristais

    // This should make XT1 startup in 500ms and XT2 in less than 1ms
    UCSCTL6 = XT2DRIVE_3 |      // Turn up crystal drive to
                XT1DRIVE_3 |      // speed up oscillator startup
                XCAP_3           | // Use maximum capacitance (12pF)
//            XT1OFF           | // Make sure XT1 and XT2
//            XT2OFF           | // oscillators are active
//            SMCLKOFF         | // Leave SMCLK ON
//            XT1BYPASS        | // Not using external clock source
//            XT2BYPASS        | // Not using external clock source
//            XTS               | // XT1 low-frequency mode, which
                0;               // means XCAP bits will be used

    UCSCTL0 = 0x00;             // Let FLL manage DCO and MOD

    UCSCTL1 = DCORSEL_6 |       // Select DCO range to around 20MHz
//            DISMOD           | // Enable modulator
                0;

    UCSCTL2 = FLLD_0 |          // (D=1) Set FLL dividers
                4;              // DCOCLK = 1 * (1+4) * FLLREF = 20 MHz

    UCSCTL3 = SELREF_5 |        // Use XT2 (4 MHz) Oscillator for FLLREF
                FLLREFDIV_0;    // divided by 1

    UCSCTL5 = DIVPA_0 |         // Output dividers to 1
                DIVA_0 |         // ACLK  divided by 1
                DIVS_0 |         // SMCLK divided by 1
                DIVM_0;          // MCLK  divided by 1

    UCSCTL7 = 0;               // Clear XT2,XT1,DCO fault flags

```

```

    UCSCTL8 = SMCLKREQEN |      // Enable conditional requests for
        MCLKREQEN |           // SMCLK, MCLK and ACLK. In case one
        ACLKREQEN;            // fails, another takes over

    do {                        // Check if all clocks are oscillating
        UCSCTL7 &= ~( XT2OFFG | //Try clear XT2,XT1,DCO fault flags,
            XT1LFOFFG | // system fault flags and check if
            DCOFFG );        // oscillators are still faulty
        SFRIFG1 &= ~OFIFG;    //
    } while (SFRIFG1 & OFIFG); // Exit only when everything is ok

    UCSCTL6 &= ~(XT1DRIVE_3 |   // Xtal is now stable,
        XT2DRIVE_3);          // reduce drive strength (to save power)

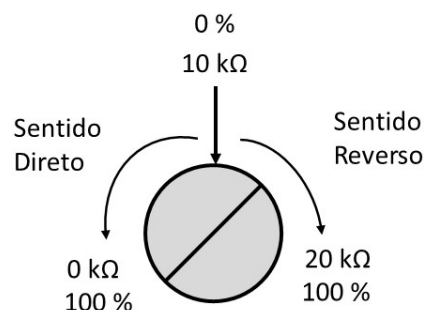
    UCSCTL4 = SELA__XT1CLK |    // ACLK = XT1 => 32.768 Hz
        SELS__XT2CLK |        // SMCLK = XT2 => 4.000.000 Hz
        SELM__DCOCLK;         // MCLK = DCO => 20.000.000 Hz
}

void config_pinos(void) {
    P2DIR &= ~BIT1;    P2REN |= BIT1;    P2OUT |= BIT1;    //S1
    P1DIR &= ~BIT1;    P1REN |= BIT1;    P1OUT |= BIT1;    //S2
    P1DIR |= BIT0;     P1OUT &= ~BIT0;    //Led 1-VM
    P4DIR |= BIT7;     P4OUT &= ~BIT7;    //Led 2-Verde
}

// Copiar essas funções do ER 7.8
int check_s1(void) { ... }
int check_s2(void) { ... }
void debounce(void){ ... }

```

**ER M.2.** Vamos aproveitar a estrutura do ER M.1, com a diferença de que agora vamos acionar o motor com a Ponte H com o L298. O sentido de rotação e o ciclo de carga serão indicados pelo potenciômetro de 20 kΩ, da seguinte forma:



*Figura M.22. Nova interpretação para o potenciômetro.*

**Solução:** A Figura M.23 apresenta a solução para a conexão da placa com o L298 ao circuito anterior (Figura M.16). Note que houve poucas alterações. Surgiram dois pinos P4.1 e P4.2, que são usados para indicar ao L298 o sentido de rotação do motor e a saída PWM foi ligada ao *enable* (EnA).

Por isso, quase tudo o que foi feito para a solução do exercício anterior pode ser aproveitado para o exercício atual. De acordo com a Figura M.22, será necessário reinterpretar a leitura do ADC. Essa reinterpretação é simples e está apresentada na Tabela M.5.

*Tabela M.5 Reinterpretação do valor entregue pelo ADC*

Potenciômetro	Código ADC	Reinterpretado	PWM
0 $\Omega$	0	2047	100% sentido direto
10 k $\Omega$	2047	0	Parado
20 k $\Omega$	4095	2047	100% sentido reverso

As duas linhas abaixo fazem essa reinterpretação.

```
if (adc>2047)    adc = adc-2048;           //Faixa de 2047 até 0 (direto)
else            adc = 2048-adc;          //Faixa de 0 até 2047 (reverso)
```

O programa solução é conseguido com apenas duas alterações na solução do exercício anterior. O trecho abaixo foi recortado do programa original e indica as duas áreas que deverão ser alteradas para o que está indicado na próxima listagem. É muito simples.

Listagem original

```
...
__enable_interrupt ( );
...
    adc=soma/ADC_TOTAL;           //Média das ADC_TOTAL conversões
    pwm=1000*(adc/4095.);         //Calcula ciclo de carga
...
```

Listagem com as alterações para se conseguir o programa solução

```
...
P4DIR |= BIT2|BIT1;              //P4.1 e P4.2 para sentido rotação
P4OUT &= ~(BIT2|BIT1);           //P4.1=P4.2=0
__enable_interrupt ( );
...
    adc=soma/ADC_TOTAL;           //Média das ADC_TOTAL conversões
    if (adc>2047){
        P4OUT |= BIT1;           //Sentido direto
        P4OUT &= ~BIT2;          //Sentido direto
        adc = adc-2048;          //Escala de 0 até 2047
    }
```



```
    }  
    else{  
        P4OUT &= ~BIT1;           //Sentido reverso  
        P4OUT |= BIT2;           //Sentido reverso  
        adc = 2048-adc;          //Escala de 0 até 2047  
    }  
    pwm=1000*(adc/4095.);          //Calcula ciclo de carga  
    ...
```

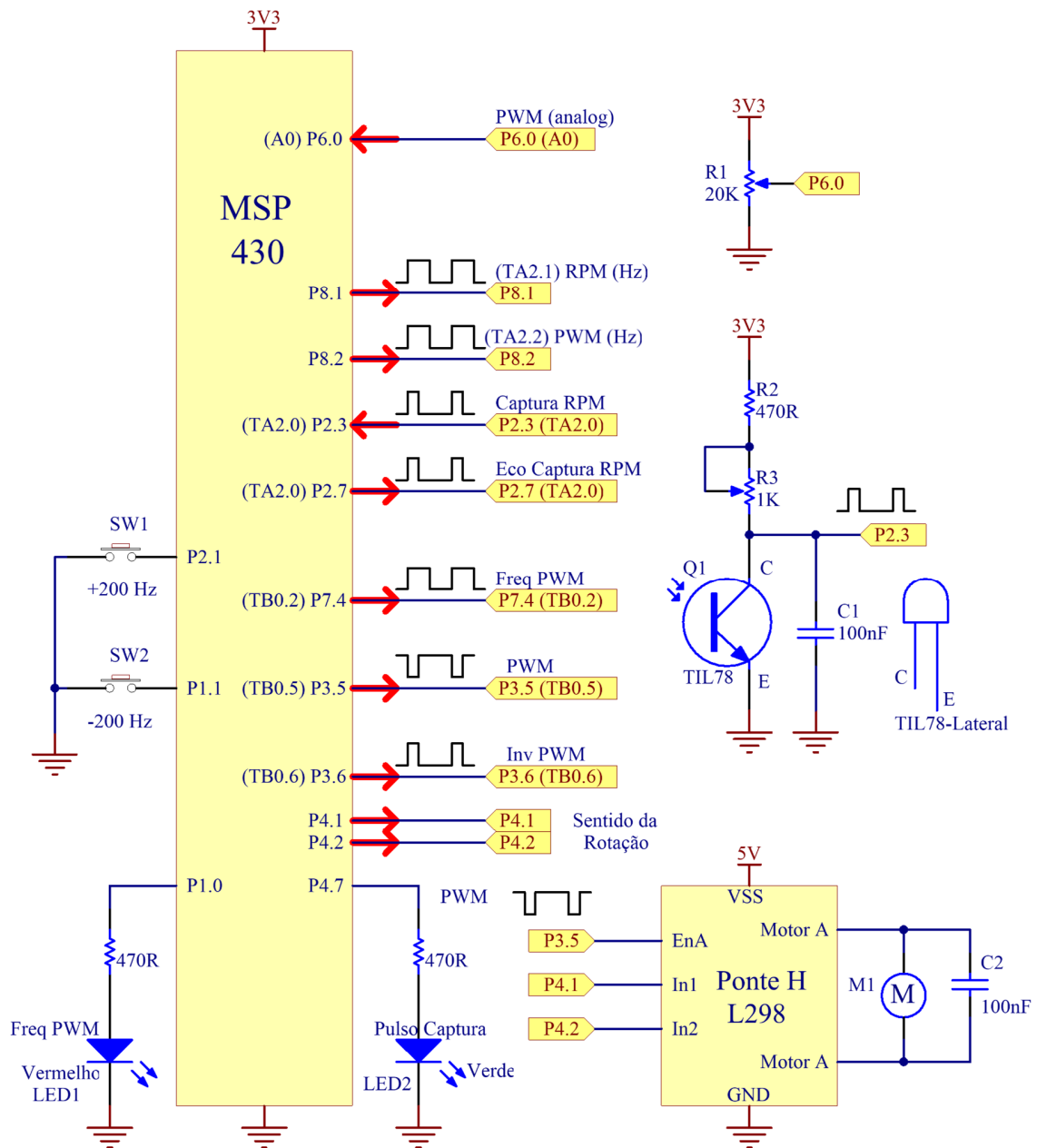


Figura M.23. Ambiente de experimentação de motor DC usando a placa com o L298.